



SEATECH ÉCOLE D'INGÉNIEURS
MODÉLISATION ET CALCULS FLUIDES ET STRUCTURES



COMPTE RENDU DE TP 3:
CALCULS NUMÉRIQUE AVANCÉS

RÉSOLUTION DE L'ÉQUATION DU
TRANSPORT EN 1D

Enseignant: Mr. Golay

Etudiant: Dupont Ronan

Année Universitaire 2019-2020

I) Introduction

Le but de ce TP est de résoudre l'équation de transport. Pour se faire, nous n'allons pas écrire de programme mais simplement utiliser un programme écrit par Gloria Faccanoni. Nous étudierons différentes caractéristiques de certains schémas numériques comme: gauche, droite, centré ainsi que d'autres schémas plus performants comme celui de Després-Lagoutière.

II) Modèle physique

Durant ce TP, nous résolverons l'équation du transport qui est régi par le système suivant:

$$\begin{cases} \frac{du}{dt}(x, t) - c \frac{du}{dx}(x, t) = 0 \\ u(x, 0) = g(x) \end{cases}$$

Si l'on considère un polluant de densité $u(x, t)$, après avoir "passé u dans cette équation", on aura un polluant qui aura été transporté (translaté) d'une quantité ct de manière conservatrice: on aura toujours la même densité.

On peut vérifier cela facilement en exploitant la solution de cette équation (que l'on obtient rapidement par la méthode des caractéristiques).

On a: $\forall (x, t) \in \mathbb{R} \times \mathbb{R}^+, u(x, t) = g(x - ct)$.

On voit bien le transport. On en déduit donc si $c > 0$, la quantité sera translatée vers la droite et si $c < 0$, elle sera translatée vers la gauche.

III) Modèle numérique

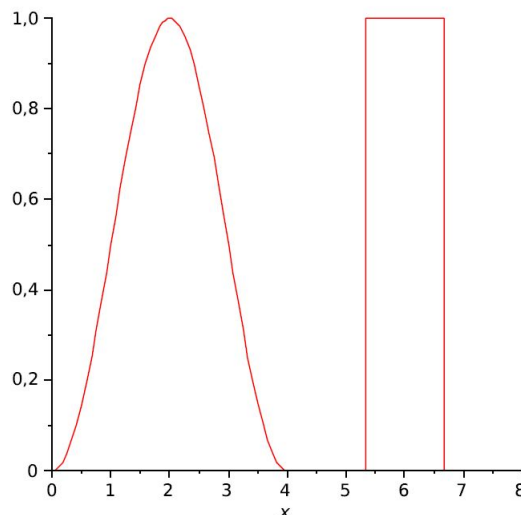
Pour résoudre l'équation suivante:

$$\begin{cases} \frac{du}{dt}(x, t) - c \frac{du}{dx}(x, t) = 0 \\ u(x, 0) = g(x) \end{cases}$$

Avec:

$$g(x) = \begin{cases} \frac{1}{2} + \frac{1}{2} \sin\left(\frac{4\pi}{L}x - \frac{\pi}{2}\right) & \text{si } x \in]0; \frac{L}{2}[, \\ 0 & \text{si } x \in]\frac{L}{2}; \frac{2L}{3}[\cup]\frac{5L}{6}; L[, \\ 1 & \text{sinon.} \end{cases}$$

Où g est représenté en $t = 0$ par la courbe ci-dessous avec $L=8$.



Nous allons dans un premier temps discrétiser l'intervalle $I=[0,L]$ en n sous-intervalles de taille $h = \frac{L}{n-1}$. Ensuite, nous appliquerons des schémas numériques sur les x_i avec $x_i = ih$ et $i \in [0,L]$.

1) Schémas numériques de base

Nous utiliserons 9 schémas numériques différents. On pose dans un premier temps $\alpha = c \frac{\Delta t}{\Delta x}$ et on obtient par différentes méthodes comme la méthode des différences finies (Cf les 3 premiers schémas) les schémas suivants:

Décentré gauche:

$$\frac{u_j^{n+1} - u_j^n}{\Delta t} + c \frac{u_j^n - u_{j-1}^n}{\Delta x} = 0 \quad ie \quad u_j^{n+1} = u_j^n - \alpha(u_j^n - u_{j-1}^n) \quad (1)$$

Décentré droite:

$$\frac{u_j^{n+1} - u_j^n}{\Delta t} + c \frac{u_{j+1}^n - u_j^n}{\Delta x} = 0 \quad ie \quad u_j^{n+1} = u_j^n - \alpha(u_{j+1}^n - u_j^n) \quad (2)$$

Décentré centré:

$$\frac{u_j^{n+1} - u_j^n}{\Delta t} + c \frac{u_{j+1}^n - u_{j-1}^n}{2\Delta x} = 0 \quad ie \quad u_j^{n+1} = u_j^n - \alpha \frac{u_{j+1}^n - u_{j-1}^n}{2} \quad (3)$$

Upwind:

$$u_j^{n+1} = u_j^n - \left(\frac{\alpha + |\alpha|}{2} (u_j^n - u_{j-1}^n) + \frac{\alpha - |\alpha|}{2} (u_{j+1}^n - u_j^n) \right) \quad (4)$$

Lax-Friedrichs:

$$u_j^{n+1} = \frac{1 - \alpha}{2} u_{j+1}^n + \frac{1 + \alpha}{2} u_{j-1}^n \quad (5)$$

Lax-Wendroff:

$$u_j^{n+1} = u_j^n - \alpha \frac{u_{j+1}^n - u_{j-1}^n}{2} + \alpha^2 \frac{u_{j+1}^n - 2u_j^n + u_{j-1}^n}{2} \quad (6)$$

Beam-Warming ($c>0$):

$$u_j^{n+1} = u_j^n - \alpha((u_j^n - u_{j-1}^n) + \frac{1 - \alpha}{2}(u_j^n - 2u_{j-1}^n + u_{j-2}^n)) \quad (7)$$

Fromm ($c>0$):

$$u_j^{n+1} = \frac{\alpha(\alpha - 1)}{4} u_{j-2}^n + \frac{\alpha(5 - \alpha)}{4} u_{j-1}^n + \frac{(1 - \alpha)(\alpha + 4)}{4} u_j^n + \frac{\alpha(\alpha - 1)}{4} u_{j+1}^n \quad (8)$$

Anti-diffusif de Després-Lagoutière ($c>0$):

$$u_j^{n+1} = u_j^n - \alpha(g(u_{j-1}^n, u_j^n, u_{j+1}^n) - g(u_{j-2}^n, u_{j-1}^n, u_j^n))$$

$$\text{où } g(L, C, R) = \begin{cases} A, & \text{si } R \leq A, \\ B, & \text{si } R \geq B, \\ R, & \text{sinon,} \end{cases} \quad \text{et } \begin{cases} A = \max(L, C) + \frac{C - \max(L, C)}{\alpha} \\ B = \min(L, C) + \frac{C - \min(L, C)}{\alpha} \end{cases} \quad (9)$$

Par la suite, nous étudierons les schémas en fonction d'une CFL (condition de stabilité). De manière générale, si la cfl est inférieure à 1, le schéma est stable et si elle est supérieure, il est instable.

2) Adaptation des schéma numériques pour $c < 0$

Certains schémas numériques ont été configurés pour répondre à un c particulier: $c > 0$. Nous allons donc deviner ces schémas pour qu'ils fonctionnent aussi pour le cas où $c < 0$.

Nous allons donc chercher à adapter les schémas 7, 8, 9.

Pour se faire il faut savoir que le transport se passe dans le sens inverse que si $c > 0$. On va donc poser $\alpha = -\alpha$. La résolution se faisant dans le sens inverse, on peut noter que tous les u_{j-1}^n deviennent des u_{j+1}^n et inversement.

Après simplification, nous obtenons les schémas numériques suivants:

Beam-Warming ($c < 0$):

$$u_j^{n+1} = u_j^n + \alpha((u_j^n - u_{j+1}^n) + \frac{1-\alpha}{2}(u_j^n - 2u_{j+1}^n + u_{j+2}^n)) \quad (10)$$

Fromm ($c < 0$):

$$u_j^{n+1} = \frac{\alpha(\alpha+1)}{4}u_{j+2}^n + \frac{-\alpha(5+\alpha)}{4}u_{j+1}^n + \frac{(1+\alpha)(4-\alpha)}{4}u_j^n + \frac{\alpha(\alpha+1)}{4}u_{j-1}^n \quad (11)$$

Anti-diffusif de Després-Lagoutière ($c > 0$):

$$u_j^{n+1} = u_j^n + \alpha(g(u_{j+1}^n, u_j^n, u_{j-1}^n) - g(u_{j+2}^n, u_{j+1}^n, u_j^n))$$

$$\text{où } g(L, C, R) = \begin{cases} A, & \text{si } R \leq A, \\ B, & \text{si } R \geq B, \\ R, & \text{sinon,} \end{cases} \text{ et } \begin{cases} A = \max(L, C) - \frac{C - \max(L, C)}{\alpha} \\ B = \min(L, C) - \frac{C - \min(L, C)}{\alpha} \end{cases} \quad (12)$$

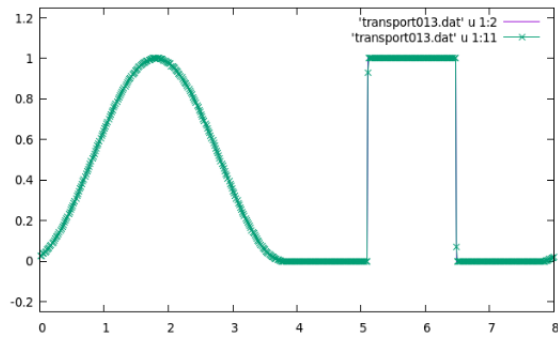
3) Résolution en utilisant les schémas

Afin d'utiliser les schémas numériques, nous n'allons pas utiliser de systèmes matriciel ou autre pour résoudre l'équation. En effet, ce serait une mauvaise manie car tous les schémas sont explicites, nous avons simplement à manipuler des listes représentant les u_j^n , u_{j-1}^n , u_{j-2}^n , u_{j+1}^n , u_{j+2}^n . En utilisant l'écriture vectorielle de Fortran90, on arrive très rapidement aux résolutions.

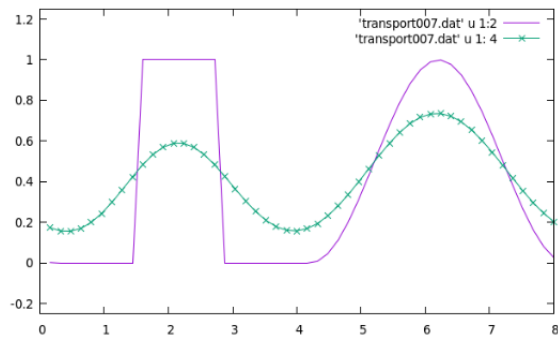
IV) Résultats

Pour chacun des schémas numériques, nous étudierons :

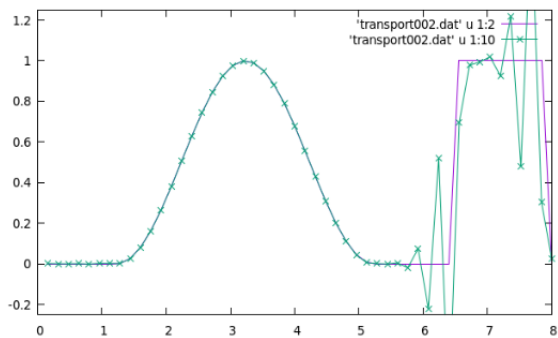
- La stabilité: un schéma est stable si $\exists c > 0 \mid \forall \delta t, n$ assez petits: $\|u^n\|_\infty \leq \|u^0\|_\infty$, $\forall n \leq n\delta t \leq T$. C'est à dire qu'on peut majorer la norme de n'importe quelle valeur du schéma par une constante multiplié par la norme de la valeur initiale.
Par exemple, un schéma qui divergera ne pourra pas se faire majorer en norme.
- La convergence: Si la courbe suit ou non la courbe réelle. Ci-dessous un schéma stable: il épouse bien la courbe réelle.



- La diffusion : Si la courbe "s'écrase": elle diminue en amplitude. Ci-dessous un schéma diffusif: la courbe simulée perd en amplitude.



- La dispersion: Si la courbe oscille par rapport à la courbe réelle. Ci-dessous un schéma dispersif: il oscille beaucoup.



1) Courbes de résultats

Afin d'obtenir des résultats, nous avons décidé de tracer sur un même graphique les schémas de 4 à 9. Nous avons volontairement exclu les schémas 1 à 3 qui sont très souvent divergent ce qui fausserait la plupart des résultats. Nous les étudierons donc au cas par cas. Voici les courbes que nous avons obtenues:

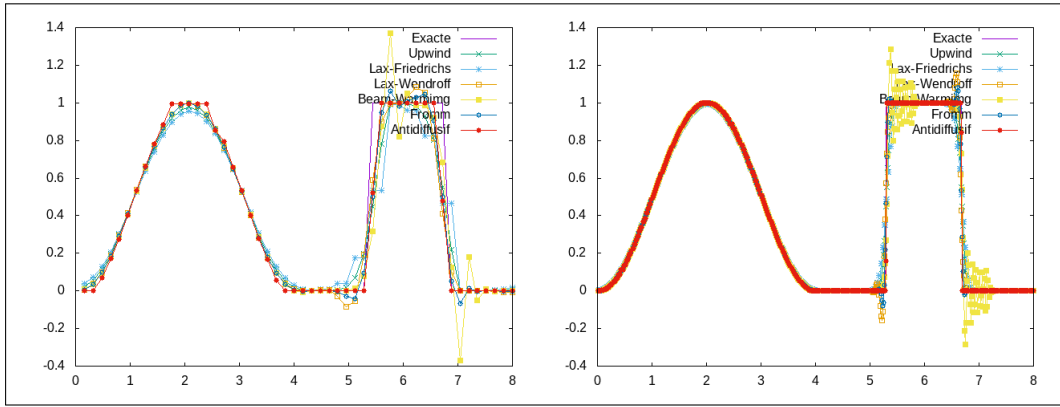


Figure 1: $c=1$, $cfl=0.99$, $N=50,500$

On peut voir que pour la $cfl=0.99$ et $c=1$, les schémas 4 à 9 convergent. Certains font apparaître le phénomène de diffusion comme on le voit nettement sur le schéma jaune de Beam-Warming sur le triangle.

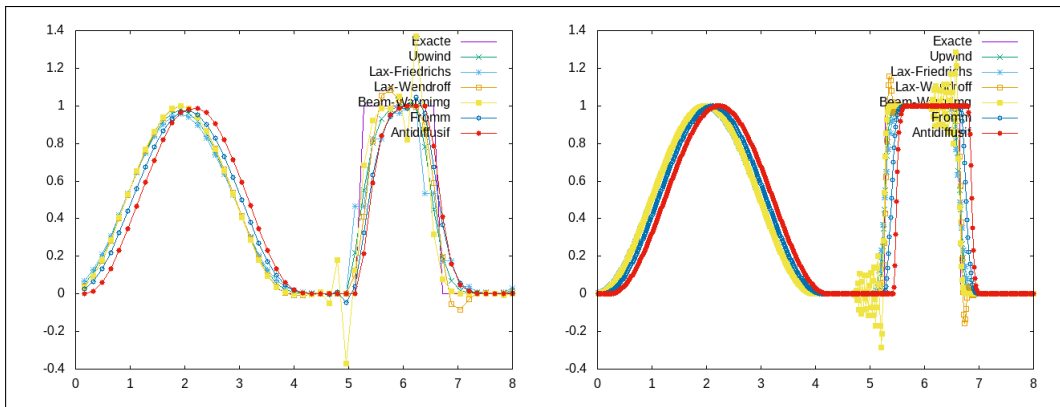


Figure 2: $c=-1$, $cfl=0.99$, $N=50,500$

On peut voir que pour la $cfl=0.99$ et $c=-1$, les schémas 4 à 9 convergent. Certains font apparaître le phénomène de diffusion comme on le voit nettement sur le schéma jaune de Beam-Warming sur le triangle. Cependant, ces courbes simulés font apparaître un décalage en x par rapport à la courbe réelle.

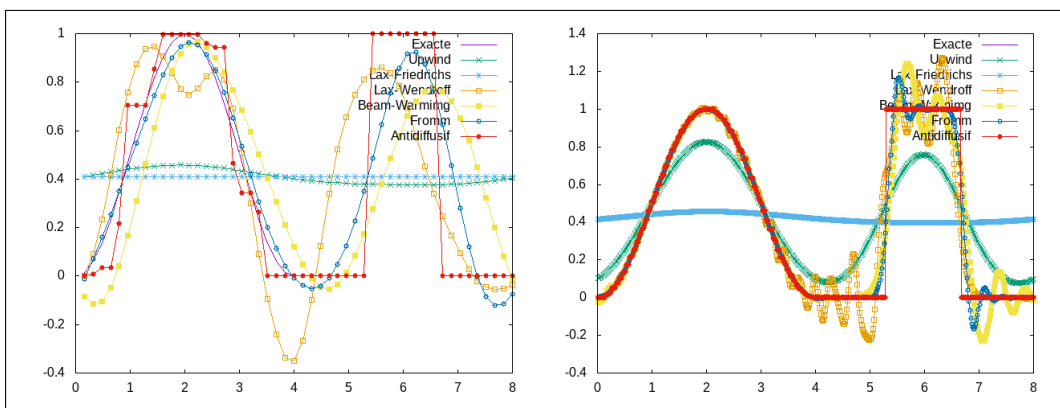


Figure 3: $c=1$, $cfl=0.1$, $N=50,500$

On peut voir que pour la $cf=0.1$ et $c=1$, les schémas 4 à 9 ne convergent pas tous. Par exemple, les schémas de Lax-Friedrichs et d'Upwind subissent une très forte diffusion qui fait tendre le résultat du schéma de Lax-Friedrichs vers une constante. Sinon les autres schémas convergent mais sont très dispersifs.

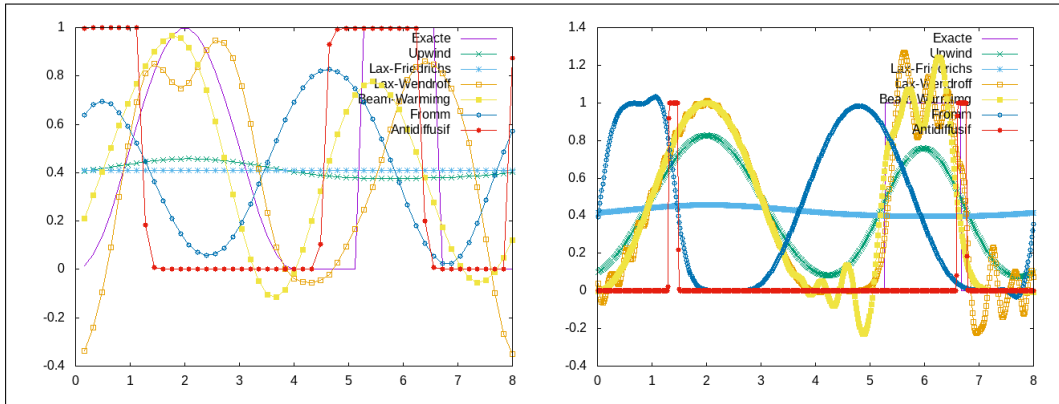


Figure 4: $c=-1$, $cfl=0.1$, $N=50,500$

On peut voir que pour la $cf=0.1$ et $c=-1$, tous les schémas semblent être décalés selon x par rapport à la solution exacte. Comme précédemment a de même les schémas de Lax-Friedrichs et d'Upwind qui subissent une très forte diffusion. Et les autres schémas sont très dispersifs sur l'approximation du rectangle.

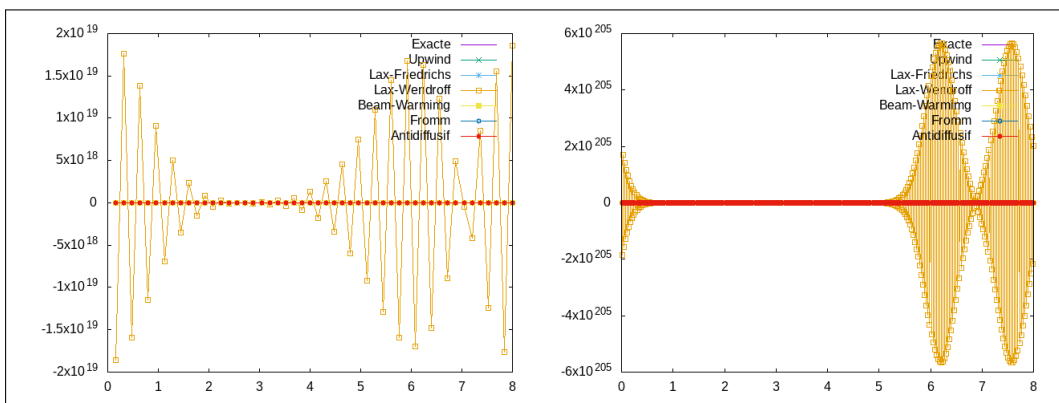


Figure 5: $c=1$, $cfl=1.1$, $N=50,500$

On peut voir que pour la $cf=1.1$ et $c=-1$, le schéma de Lax-Wendroff diverge. Si l'on enlève ce schéma du plot, on remarque que d'autres schémas divergent mais eux à d'autres vitesses. On ne peut pas conclure grand chose quant à la convergence des autres schémas. Nous verrons ceci plus précisément en les traçant cas par cas dans les tableaux de la prochaine partie.

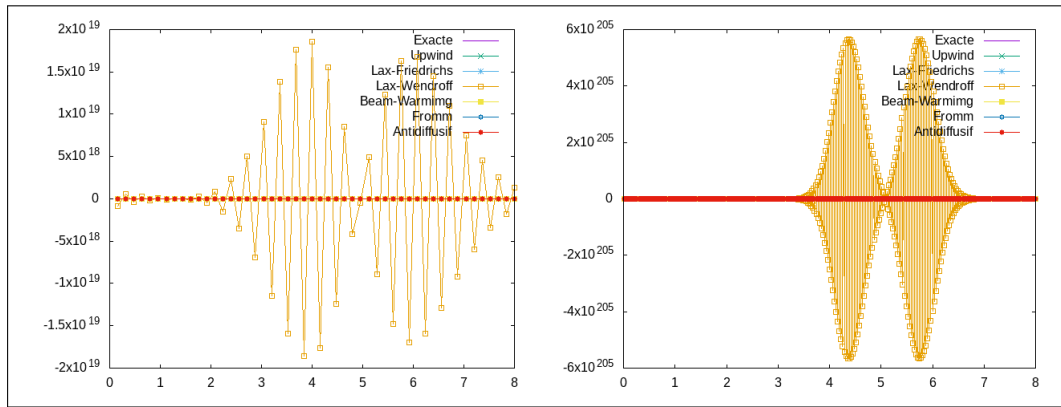


Figure 6: $c=-1$, $cfl=1.1$, $N=50,500$

On peut voir que pour la $cfl=1.1$ et $c=-1$, le schéma de Lax-Wendroff diverge. Si l'on enlève ce schéma du plot, on remarque que d'autres schémas divergent mais eux à d'autres vitesse. On ne peut pas conclure grand chose quant à la convergence des autres schémas. Nous verrons ceci plus précisément en les traçant cas par cas dans les tableaux de la prochaine partie.

2) Schéma décentré gauche

$c=1, N_x=50$	Dispersion	Convergence	Diffusion	Stabilité
$cfl=0.99$	pas très bien sur le "rectangle"	Oui	Non	Oui
$cfl=0.1$	Oui	Non	S'écrase vers $y=0.4$	Non
$cfl=1.1$	Oui	Non	Non	Non
$c=1, N_x=500$	Dispersion	Convergence	Diffusion	Stabilité
$cfl=0.99$	Aucune dispersion	Oui	Non	Oui
$cfl=0.1$	pas très bien sur le "rectangle"	Non	Assez conséquent	Non
$cfl=1.1$	Oui	Non	Non	Non
$c=-1, N_x=50$	Dispersion	Convergence	Diffusion	Stabilité
$cfl=0.99$	Oui	Non	Non	Non
$cfl=0.1$	Oui	Non	Non	Non
$cfl=1.1$	Oui	Non	Non	Non
$c=-1, N_x=500$	Dispersion	Convergence	Diffusion	Stabilité
$cfl=0.99$	Oui	Non	Non	Non
$cfl=0.1$	Oui	Non	Non	Non
$cfl=1.1$	Oui	Non	Non	Non

Ce schéma peut être utilisé uniquement pour $c > 0$ avec la condition $cfl=0.99$.

3) Schéma décentré droite

$c=1, N_x=50$	Dispersion	Convergence	Diffusion	Stabilité
$cf1=0.99$	Oui	Non	Non	Non
$cf1=0.1$	Oui	Non	Non	Non
$cf1=1.1$	Oui	Non	Non	Non
$c=1, N_x=500$	Dispersion	Convergence	Diffusion	Stabilité
$cf1=0.99$	Oui	Non	Non	Non
$cf1=0.1$	Oui	Non	Non	Non
$cf1=1.1$	Oui	Non	Non	Non
$c=-1, N_x=50$	Dispersion	Convergence	Diffusion=s'écrase	Stabilité
$cf1=0.99$	pas très bien sur le "rectangle"	Oui	Non	Non
$cf1=0.1$	Oui	Non	S'écrase vers $y=0.4$	Non
$cf1=1.1$	Oui	Non	Non	Non
$c=-1, N_x=500$	Dispersion	Convergence	Diffusion	Stabilité
$cf1=0.99$	Aucune dispersion	Oui	Non	Oui
$cf1=0.1$	pas très bien sur le "rectangle"	Non	Assez conséquent	Non
$cf1=1.1$	Oui	Non	Non	Non

Ce schéma peut être utilisé uniquement pour $c < 0$ avec la condition $cf1=0.99$.

4) Schéma centré

$c=1, N_x=50$	Dispersion	Convergence	Diffusion	Stabilité
$cf1=0.99$	Oui	Non	Non	Non
$cf1=0.1$	Oui	Non	Non	Non
$cf1=1.1$	Oui	Non	Non	Non
$c=1, N_x=500$	Dispersion	Convergence	Diffusion	Stabilité
$cf1=0.99$	Oui	Non	Non	Non
$cf1=0.1$	Oui	Non	Non	Non
$cf1=1.1$	Oui	Non	Non	Non
$c=-1, N_x=50$	Dispersion	Convergence	Diffusion	Stabilité
$cf1=0.99$	Oui	Non	Non	Non
$cf1=0.1$	Oui	Non	Non	Non
$cf1=1.1$	Oui	Non	Non	Non
$c=-1, N_x=500$	Dispersion	Convergence	Diffusion	Stabilité
$cf1=0.99$	Oui	Non	Non	Non
$cf1=0.1$	Oui	Non	Non	Non
$cf1=1.1$	Oui	Non	Non	Non

Ce schéma n'est pas adapté à ce problème car il diverge dans tous les cas.

5) Schéma upwind

$c=1, N_x=50$	Dispersion	Convergence	Diffusion	Stabilité
$cf1=0.99$	pas très bien sur le "rectangle"	Oui	Non	Oui
$cf1=0.1$	Oui	Non	S'écrase vers $y=0.4$	Non
$cf1=1.1$	Oui	Non	Non	Non
$c=1, N_x=500$	Dispersion	Convergence	Diffusion	Stabilité
$cf1=0.99$	Aucune dispersion	Oui	Non	Oui
$cf1=0.1$	pas très bien sur le "rectangle"	Non	Assez conséquent	Non
$cf1=1.1$	Oui	Non	Non	Non
$c=-1, N_x=50$	Dispersion	Convergence	Diffusion	Stabilité
$cf1=0.99$	pas très bien sur le "rectangle"	Oui	Non	Oui
$cf1=0.1$	Oui	Non	S'écrase vers $y=0.4$	Non
$cf1=1.1$	Oui	Non	Non	Non
$c=-1, N_x=500$	Dispersion	Convergence	Diffusion	Stabilité
$cf1=0.99$	Aucune dispersion	Oui	Non	Oui
$cf1=0.1$	pas très bien sur le "rectangle"	Non	Assez conséquent	Non
$cf1=1.1$	Oui	Non	Non	Non

Ce schéma est adapté quelque soit le c mais il nécessite une condition $cf1$ très proche 1 (de manière inférieur).

6) Schéma de Lax-Friedrichs

$c=1, N_x=50$	Dispersion	Convergence	Diffusion	Stabilité
$cf1=0.99$	pas très bien sur le "rectangle"	Oui	Non	Oui
$cf1=0.1$	Oui	Non	S'écrase vers $y=0.4$	Oui
$cf1=1.1$	Oui	Non	Non	Non
$c=1, N_x=500$	Dispersion	Convergence	Diffusion	Stabilité
$cf1=0.99$	Aucune dispersion	Oui	Non	Oui
$cf1=0.1$	Oui	Non	S'écrase vers $y=0.4$	Non
$cf1=1.1$	Oui	Non	Non	Non
$c=-1, N_x=50$	Dispersion	Convergence	Diffusion	Stabilité
$cf1=0.99$	pas très bien sur le "rectangle"	Oui	Non	Oui
$cf1=0.1$	Oui	Non	S'écrase vers $y=0.4$	Non
$cf1=1.1$	Oui	Non	Non	Non
$c=-1, N_x=500$	Dispersion	Convergence	Diffusion	Stabilité
$cf1=0.99$	Aucune dispersion	Oui	Non	Oui
$cf1=0.1$	Oui	Non	S'écrase vers $y=0.4$	Non
$cf1=1.1$	Oui	Non	Non	Non

Ce schéma est adapté quelque soit le c mais il nécessite une condition $cf1$ très proche 1 (de manière inférieur).

7) Schéma de Lax-Wendroff

c=1, Nx=50	Dispersion	Convergence	Diffusion	Stabilité
cf1=0.99	pas très bien sur le "rectangle"	Oui	Non	Oui
cf1=0.1	mauvaise approximation	Oui	Assez conséquente	Oui
cf1=1.1	Oui	Non	Non	Non
c=1, Nx=500	Dispersion	Convergence	Diffusion	Stabilité
cf1=0.99	Aucune dispersion	Oui	Non	Oui
cf1=0.1	pas très bien sur le "rectangle"	Oui	Non	Oui
cf1=1.1	Oui	Non	Non	Non
c=-1, Nx=50	Dispersion	Convergence	Diffusion	Stabilité
cf1=0.99	pas très bien sur le "rectangle"	Oui	Non	Oui
cf1=0.1	mauvaise approximation	Oui	Assez conséquente	Oui
cf1=1.1	Oui	Non	Non	Non
c=-1, Nx=500	Dispersion	Convergence	Diffusion	Stabilité
cf1=0.99	Aucune dispersion	Oui	Non	Oui
cf1=0.1	pas très bien sur le "rectangle"	Oui	Non	Oui
cf1=1.1	Oui	Non	Non	Non

Ce schéma est adapté quelque soit le c et quelque soit la condition de $cf1$ tant qu'elle est inférieure à 1. Cependant les approximations sont pas très bonnes si l'on s'éloigne de la $cf1=1$.

8) Schéma de Beam-Warming

c=1, Nx=50	Dispersion	Convergence	Diffusion	Stabilité
cf1=0.99	pas très bien sur le "rectangle"	Oui	Non	Oui
cf1=0.1	pas très bien sur le "rectangle"	Oui	Assez conséquente	Oui
cf1=1.1	Très mauvaise approximation	Oui	Non	Oui
c=1, Nx=500	Dispersion	Convergence	Diffusion	Stabilité
cf1=0.99	Aucune dispersion	Oui	Non	Oui
cf1=0.1	Aucune dispersion	Oui	Non	Oui
cf1=1.	Aucune dispersion	Oui	Non	Oui
c=-1, Nx=50	Dispersion	Convergence	Diffusion	Stabilité
cf1=0.99	pas très bien sur le "rectangle"	Oui	Non	Oui
cf1=0.1	pas très bien sur le "rectangle"	Oui	Assez conséquente	Oui
cf1=1.1	Très mauvaise approximation	Oui	Non	Oui
c=-1, Nx=500	Dispersion	Convergence	Diffusion	Stabilité
cf1=0.99	Aucune dispersion	Oui	Non	Oui
cf1=0.1	Aucune dispersion	Oui	Non	Oui
cf1=1.	Aucune dispersion	Oui	Non	Oui

Ce schéma converge dans tous les cas mais son approximation n'est pas très précise si l'on a un n faible. Il est donc très adapté à condition d'avoir un n assez grand.

9) Schéma de Fromm

c=1, Nx=50	Dispersion	Convergence	Diffusion	Stabilité
cf1=0.99	Faible dispersion	Oui	Non	Oui
cf1=0.1	pas très bien sur le "rectangle"	Oui	légère	Oui
cf1=1.1	Oui	Non	Non	Non
c=1, Nx=500	Dispersion	Convergence	Diffusion	Stabilité
cf1=0.99	Aucune dispersion	Oui	Non	Oui
cf1=0.1	Aucune dispersion	Oui	Non	Oui
cf1=1.1	Oui	Non	Non	Non
c=-1, Nx=50	Dispersion	Convergence	Diffusion	Stabilité
cf1=0.99	Faible dispersion	Oui	Non	Oui
cf1=0.1	pas très bien sur le "rectangle"	Oui	légère	Oui
cf1=1.1	Oui	Non	Non	Non
c=-1, Nx=500	Dispersion	Convergence	Diffusion	Stabilité
cf1=0.99	Aucune dispersion	Oui	Non	Oui
cf1=0.1	Aucune dispersion	Oui	Non	Oui
cf1=1.1	Oui	Non	Non	Non

Ce schéma semble très adapté quelque soit les cas tant que la condition cfl est respecté.

10) Schéma anti-diffusif de Després-Lagoutière

c=1, Nx=50	Dispersion	Convergence	Diffusion	Stabilité
cf1=0.99	Faible dispersion	Oui	Non	Oui
cf1=0.1	Mauvaise approximation sur le sin	Oui	Non	Oui
cf1=1.1	Oui	Non	Non	Non
c=1, Nx=500	Dispersion	Convergence	Diffusion	Stabilité
cf1=0.99	Aucune dispersion	Oui	Non	Oui
cf1=0.1	Aucune dispersion	Oui	Non	Oui
cf1=1.1	Oui	Non	Non	Non
c=-1, Nx=50	Dispersion	Convergence	Diffusion	Stabilité
cf1=0.99	Faible dispersion	Oui	Non	Oui
cf1=0.1	Mauvaise approximation sur le sin	Oui	Non	Oui
cf1=1.1	Oui	Non	Non	Non
c=-1, Nx=500	Dispersion	Convergence	Diffusion	Stabilité
cf1=0.99	Aucune dispersion	Oui	Non	Oui
cf1=0.1	Aucune dispersion	Oui	Non	Oui
cf1=1.1	Oui	Non	Non	Non

Ce schéma semble très adapté quelque soit les cas tant que la condition cfl est respecté. En effet, les approximations sont très propres.

V) Conclusion

Dans ce TP, nous avons pu étudier différents schémas numériques permettant de résoudre l'équation du transport en 1D. On a pu étudier différents paramètres comme la diffusion, dispersion, la stabilité ainsi que la convergence.

On a pu voir que les schémas de base (1-3) issus des différences finies sont pas très puissants tandis que les 3 derniers (7-9) sont beaucoup plus poussés. Le schéma anti-diffusion permet d'avoir des approximations quasi-parfaites sans aucune diffusion.

Cependant, quelque soit le schéma numérique, si la condition CFL est supérieure à 1, on aura très rarement un modèle qui converge.

Annexe

```

!
! Resolution du
! probleme de Cauchy
! d_t u(x,t) + c d_x u(x,t) = 0
! u(x,t=0)=g(x)
! pour t>0 et x in [0;L] avec conditions au bord periodiques
!
! Creer une directory data dans laquelle seront sauvegarde les sorties
!
! --- Pour compiler && executer
! gfortran transport.f90 -o transport.o && ./transport.o
!
! --- Pour voir les "films" avec gnuplot
! cd data
! gnuplot plot_centree.gnu
! gnuplot plot_decentreegauche.gnu
! gnuplot plot_decentreedroite.gnu
! gnuplot plot_upwind.gnu
! gnuplot plot_laxfriedrichs.gnu
! gnuplot plot_laxwendroff.gnu
! gnuplot plot_beamwarming.gnu
! gnuplot plot_fromm.gnu
! gnuplot plot_antidiffusif.gnu
!

program transport

implicit none
double precision, parameter :: pi=2.0*acos(0.0)

integer,           parameter :: Nx = 500           ! nombre de points
double precision, parameter :: L = 8.0            ! domaine
double precision, parameter :: c = 1.            ! vitesse du transport
double precision, parameter :: Tmax = 24.0       ! borne en temps
integer,           parameter :: Smax = 40         ! nombre de sauvegardes
double precision, parameter :: cfl = 0.99        ! coefficient CFL

integer           :: Nt, j, sauv
double precision :: dx, dt, t

double precision, dimension(Nx) :: x
double precision, dimension(Nx) :: exacte
double precision, dimension(Nx) :: centree
double precision, dimension(Nx) :: decentreegauche
double precision, dimension(Nx) :: decentreedroite
double precision, dimension(Nx) :: upwind
double precision, dimension(Nx) :: laxfriedrichs
double precision, dimension(Nx) :: laxwendroff
double precision, dimension(Nx) :: beamwarming
double precision, dimension(Nx) :: fromm
double precision, dimension(Nx) :: antidiffusif

Nt = 0                ! numero de la sauvegarde
dx = L/Nx             ! pas d'espace
dt = cfl*abs(c)*dx    ! pas de temps
t = 0.0              ! instant

x = ((j+dx, j=1,Nx)/) ! position
exacte = ((0., j=1,Nx)/) ! solution exacte
centree = ((0., j=1,Nx)/) ! solution avec schema centre
decentreegauche = ((0., j=1,Nx)/) ! solution avec schema decentre a gauche
decentreedroite = ((0., j=1,Nx)/) ! solution avec schema decentre a droite
upwind = ((0., j=1,Nx)/) ! solution avec schema upwind
laxfriedrichs = ((0., j=1,Nx)/) ! solution avec schema de Lax-Friedrichs
laxwendroff = ((0., j=1,Nx)/) ! solution avec schema de Lax-Wendroff
beamwarming = ((0., j=1,Nx)/) ! solution avec schema de Beam-Warming
fromm = ((0., j=1,Nx)/) ! solution avec schema de Fromm
antidiffusif = ((0., j=1,Nx)/) ! solution avec schema AntiDiffusif

! Initialisations
call Calcul_Exacte(x,t,exacte)
centree = exacte
decentreegauche = exacte
decentreedroite = exacte
upwind = exacte
laxfriedrichs = exacte
laxwendroff = exacte
beamwarming = exacte
fromm = exacte
antidiffusif = exacte

! Sauvegarde de la CI
sauv = 0

```

Figure 7: Code du programme

```

call sauvegarde(sauv,x,exacte,centree,decentreegauche,decentreedroite,upwind,laxfriedrichs,laxwendroff
  , beamwarming,&
    fromm, antidiffusif)

! *****
! MARCHÉ EN TEMPS
! *****
do while (t<Tmax)

    Nt = Nt+1
    t = t+dt

! calcul de la solution exacte
call Calcul_Exacte(x,t,exacte)
! calcul des solutions approchées
call Calcul_Centree(centree)
call Calcul_Decentree_Gauche(decentreegauche)
call Calcul_Decentree_Droite(decentreedroite)
call Calcul_Upwind(upwind)
call Calcul_Lax_Friedrichs(laxfriedrichs)
call Calcul_Lax_Wendroff(laxwendroff)
call Calcul_Beam_Warming(beamwarming)
call Calcul_Fromm(fromm)
call Calcul_Anti_Diffusif(antidiffusif)
! sauvegarde dans un fichier de toutes les solutions
if ( floor(t*Smax/Tmax)>floor((t-dt)*Smax/Tmax) ) then
    sauv=sauv+1
    call sauvegarde(sauv,x,exacte,centree,decentreegauche,decentreedroite,upwind,
      ,laxfriedrichs,laxwendroff,beamwarming,&
        fromm,antidiffusif)
end if
end do

call scriptgnuplot(sauv)

! *****
! SOUS-PROGRAMMES
! *****
contains

subroutine sauvegarde(sauv,x,exacte,centree,decentreegauche,decentreedroite,&
  upwind,laxfriedrichs,laxwendroff,beamwarming,fromm,antidiffusif)
    integer :: j
    integer, intent(in) :: sauv
    double precision, dimension(Nx), intent(in) :: x, exacte,centree,decentreegauche,
      ,decentreedroite,upwind,&
        laxfriedrichs,laxwendroff,beamwarming,fromm,
      ,antidiffusif
    character(len=30) :: file_name ! nome du fichier a
      ,sauvegarder

    write(file_name, '(./data/transport",i3.3, ".dat")' ) sauv
    open(unit=11,file=file_name)
    do j=1,Nx
        write(11,*) x(j), &
          exacte(j), &
          centree(j), &
          decentreegauche(j), &
          decentreedroite(j), &
          upwind(j), &
          laxfriedrichs(j), &
          laxwendroff(j), &
          beamwarming(j), &
          fromm(j), &
          antidiffusif(j)
    end do
    close(11)
    print "(A,I3,A)", "U====U",Sauvegarde,U,num.", sauv, "U===="
end subroutine

subroutine Calcul_Exacte(x,t,exacte)
    double precision, dimension(Nx), intent(in) :: x
    double precision, intent(in) :: t
    double precision, dimension(Nx), intent(out) :: exacte
    double precision, dimension(Nx) :: xi
    xi = x-c*t - floor((x-c*t)/L)*L
    where (xi<L*0.5)
        exacte = (1.+sin(4.*pi*xi/L-0.5*pi))*0.5
    elsewhere (xi<L*0.66 .or. xi>L*0.833)
        exacte = 0.0

```

Figure 8: Code du programme

```

        elsewhere
            exacte = 1.0
        end where
    end subroutine Calcul_Exacte

    subroutine Calcul_Centree(centree)
        double precision, dimension(Nx), intent(inout) :: centree
        integer
            :: j
        double precision, dimension(Nx)
            :: centree_P,
            centree_M
        double precision
            :: alpha
        alpha = c*dt/dx
    ! conditions periodiques
        centree_P(1:Nx-1) = centree(2:Nx)
        centree_P(Nx) = centree(1)
        centree_M(2:Nx) = centree(1:Nx-1)
        centree_M(1) = centree(Nx)
    ! schema
        centree = centree-alpha*0.5*(centree_P-centree_M)
    end subroutine Calcul_Centree

    subroutine Calcul_Deцентree_Gauche(decentreegauche)
        double precision, dimension(Nx), intent(inout) :: decentreegauche
        integer
            :: j
        double precision, dimension(Nx)
            :: decentreegauche_P,
            decentreegauche_M
        double precision
            :: alpha
        alpha = c*dt/dx
    ! conditions periodiques
        decentreegauche_M(2:Nx) = decentreegauche(1:Nx-1)
        decentreegauche_M(1) = decentreegauche(Nx)
    ! schema
        decentreegauche = decentreegauche-alpha*(decentreegauche-decentreegauche_M)
    end subroutine Calcul_Deцентree_Gauche

    subroutine Calcul_Deцентree_Droite(decentreedroite)
        double precision, dimension(Nx), intent(inout) :: decentreedroite
        integer
            :: j
        double precision, dimension(Nx)
            :: decentreedroite_P,
            decentreedroite_M
        double precision
            :: alpha
        alpha = c*dt/dx
    ! conditions periodiques
        decentreedroite_P(1:Nx-1) = decentreedroite(2:Nx)
        decentreedroite_P(Nx) = decentreedroite(1)
    ! schema
        decentreedroite = decentreedroite-alpha*(decentreedroite_P-decentreedroite)
    end subroutine Calcul_Deцентree_Droite

    subroutine Calcul_Upwind(upwind)
        double precision, dimension(Nx), intent(inout) :: upwind
        double precision, dimension(Nx)
            :: upwind_P,
            upwind_M
    ! conditions periodiques
        upwind_P(1:Nx-1) = upwind(2:Nx)
        upwind_P(Nx) = upwind(1)
        upwind_M(2:Nx) = upwind(1:Nx-1)
        upwind_M(1) = upwind(Nx)
    ! schema
        upwind = upwind-(dt/dx)*(c+abs(c))*0.5*(upwind-upwind_M)-(dt/dx)*(c-abs(c))*0.5*(
            upwind_P-upwind)
    end subroutine Calcul_Upwind

    subroutine Calcul_Lax_Friedrichs(laxfriedrichs)
        double precision, dimension(Nx), intent(inout) :: laxfriedrichs
        double precision, dimension(Nx)
            :: laxfriedrichs_P,
            laxfriedrichs_M
        double precision
            :: alpha
        alpha = c*dt/dx
    ! conditions periodiques
        laxfriedrichs_P(1:Nx-1) = laxfriedrichs(2:Nx)
        laxfriedrichs_P(Nx) = laxfriedrichs(1)
        laxfriedrichs_M(2:Nx) = laxfriedrichs(1:Nx-1)
        laxfriedrichs_M(1) = laxfriedrichs(Nx)

```

Figure 9: Code du programme

```

! schema
    laxfriedrichs = laxfriedrichs_P + laxfriedrichs_M - alpha*(laxfriedrichs_P -
        ↪laxfriedrichs_M)
    laxfriedrichs = 0.5*laxfriedrichs
end subroutine Calcul_Lax_Friedrichs

subroutine Calcul_Lax_Wendroff(laxwendroff)
double precision, dimension(Nx), intent(inout) :: laxwendroff
double precision, dimension(Nx)                :: laxwendroff_P,
        ↪laxwendroff_M
double precision                                ::
        ↪alpha
    alpha = c*dt/dx
! conditions periodiques
    laxwendroff_P(1:Nx-1) = laxwendroff(2:Nx)
    laxwendroff_P(Nx)     = laxwendroff(1)
    laxwendroff_M(2:Nx)   = laxwendroff(1:Nx-1)
    laxwendroff_M(1)      = laxwendroff(Nx)
! schema
    laxwendroff = laxwendroff &
        - 0.5*alpha*(laxwendroff_P - laxwendroff_M) &
        + 0.5*alpha**2*(laxwendroff_P - 2*laxwendroff + laxwendroff_M)
end subroutine Calcul_Lax_Wendroff

subroutine Calcul_Beam_Warning(beamwarning)
double precision, dimension(Nx), intent(inout) :: beamwarning
double precision, dimension(Nx)                :: beamwarning_P,
        ↪beamwarning_PP, beamwarning_M, beamwarning_MM, g_P, g_M
double precision                                ::
        ↪alpha
    alpha = c*dt/dx
! conditions periodiques
    beamwarning_P(1:Nx-1) = beamwarning(2:Nx)
    beamwarning_P(Nx)     = beamwarning(1)
    beamwarning_PP(1:Nx-1) = beamwarning_P(2:Nx)
    beamwarning_PP(Nx)     = beamwarning_P(1)
    beamwarning_M(2:Nx)   = beamwarning(1:Nx-1)
    beamwarning_M(1)      = beamwarning(Nx)
    beamwarning_MM(2:Nx)  = beamwarning_M(1:Nx-1)
    beamwarning_MM(1)     = beamwarning_M(Nx)
! schema
if (c>0) then
    beamwarning = beamwarning - dt/dx*(beamwarning - beamwarning_M + 0.5*(1. - alpha)*(
        ↪beamwarning - 2.*beamwarning_M + beamwarning_MM))
else
    ! a implementer
    beamwarning = 0.0*beamwarning
end if
end subroutine Calcul_Beam_Warning

subroutine Calcul_Fromm(fromm)
double precision, dimension(Nx), intent(inout) :: fromm
double precision, dimension(Nx)                :: fromm_P, fromm_PP
        ↪, fromm_M, fromm_MM
double precision                                ::
        ↪alpha
    alpha = c*dt/dx
! conditions periodiques
    fromm_P(1:Nx-1) = fromm(2:Nx)
    fromm_P(Nx)     = fromm(1)
    fromm_PP(1:Nx-1) = fromm_P(2:Nx)
    fromm_PP(Nx)     = fromm_P(1)
    fromm_M(2:Nx)   = fromm(1:Nx-1)
    fromm_M(1)      = fromm(Nx)
    fromm_MM(2:Nx)  = fromm_M(1:Nx-1)
    fromm_MM(1)     = fromm_M(Nx)
! schema
if (c>0) then
    fromm = alpha*(alpha-1.)*0.25*fromm_MM &
        + alpha*(5.-alpha)*0.25*fromm_M &
        + (1.-alpha)*(alpha+4.)*0.25*fromm &
        + alpha*(alpha-1.)*0.25*fromm_P
else
    ! a implementer
    fromm = 0.0*fromm
end if
end subroutine Calcul_Fromm

subroutine Calcul_Anti_Diffusif(antidiffusif)
double precision, dimension(Nx), intent(inout) :: antidiffusif
double precision, dimension(Nx)                :: antidiffusif_P,
        ↪antidiffusif_PP, antidiffusif_M, antidiffusif_MM

```

Figure 10: Code du programme

```

double precision, dimension(Nx) :: A_P, A_M, B_P,
    B_M, g_P, g_M
double precision ::
    alpha
alpha = c*dt/dx
! conditions periodiques
antidiffusif_P(1:Nx-1) = antidiffusif(2:Nx)
antidiffusif_P(Nx) = antidiffusif(1)
!antidiffusif_PP(1:Nx-1) = antidiffusif_P(2:Nx)
!antidiffusif_PP(Nx) = antidiffusif_P(1)
antidiffusif_M(2:Nx) = antidiffusif(1:Nx-1)
antidiffusif_M(1) = antidiffusif(Nx)
antidiffusif_MM(2:Nx) = antidiffusif_M(1:Nx-1)
antidiffusif_MM(1) = antidiffusif_M(Nx)
! schema
if (c>0) then
    A_P = max(antidiffusif_M,antidiffusif )+(antidiffusif -max(antidiffusif_M
    ,antidiffusif ))/alpha
    A_M = max(antidiffusif_MM,antidiffusif_M)+(antidiffusif_M-max(
    antidiffusif_MM,antidiffusif_M))/alpha
    B_P = min(antidiffusif_M,antidiffusif )+(antidiffusif -min(antidiffusif_M
    ,antidiffusif ))/alpha
    B_M = min(antidiffusif_MM,antidiffusif_M)+(antidiffusif_M-min(
    antidiffusif_MM,antidiffusif_M))/alpha
    where(antidiffusif_P<=A_P)
        g_P=A_P
    elsewhere(antidiffusif_P>B_P)
        g_P=B_P
    elsewhere
        g_P=antidiffusif_P
    end where
    where(antidiffusif<=A_M)
        g_M=A_M
    elsewhere(antidiffusif>B_M)
        g_M=B_M
    elsewhere
        g_M=antidiffusif
    end where
    antidiffusif = antidiffusif - alpha*(g_P-g_M)
else
    ! a implementer
    antidiffusif = 0.0*antidiffusif
end if
end subroutine Calcul_Anti_Diffusif

!*****
! Ecriture des fichier "plot_XXX.gnu" de commandes gnuplot
subroutine scriptgnuplot(sauv)
integer, intent(in) :: sauv
integer :: i, j, h
character(len=30) :: file_name

open(unit=13,file="./data/plot_centree.gnu")
open(unit=14,file="./data/plot_decentreegauche.gnu")
open(unit=15,file="./data/plot_decentreedroite.gnu")
open(unit=16,file="./data/plot_upwind.gnu")
open(unit=17,file="./data/plot_laxfriedrichs.gnu")
open(unit=18,file="./data/plot_laxwendroff.gnu")
open(unit=19,file="./data/plot_beanwarming.gnu")
open(unit=20,file="./data/plot_fromm.gnu")
open(unit=21,file="./data/plot_antidiffusif.gnu")

do i=13,21
write(i,('set,yrange [-0.25:1.25];'))
h=i-10
write(i,('a58,i2,a6')) "plot,'transport000.dat',u_{i-2},w_{i-1},u'transport000.dat',u_{i-1},
    h,"w_{i-1};"
write(i,('pause_{i-1}'))
do j=1,sauv
h=i-10
write(i,('a15,i3.3,a27,i3.3,a10,i2,a6')) "plot,'transport",j,".dat',u_{i-2},w_{i-1},
    u'transport",j,".dat',u_{i-1},h,"w_{i-1};"
write(i,('pause_{i-1}'))
end do
write(i,('pause_{i-1}'))
close(i)
end do

open(unit=30,file="./data/plot_comparaison_finale.gnu")
write(i,('set,yrange [-0.25:1.25];'))
write(30,('a18,i3.3,a6')) "fichier='transport",sauv,".dat';"
write(30,*) "plot,fichier_{i-2},w_{i-1},u'Exacte\"
!write(30,*) " , fichier u 1: 3 w lp ti 'Centre\"
!write(30,*) " , fichier u 1: 4 w lp ti 'Decentre a gauche\"
!write(30,*) " , fichier u 1: 5 w lp ti 'Decentre a droite\"

```

Figure 11: Code du programme